

討12 準安定オーステナイト鋼の加工誘発マルテンサイト変態における応力と歪の寄与

京都大学大学院
京都大学工学部小野寺秀博
田村今男

I はじめに

TRIP現象の原因となる加工誘発マルテンサイト変態の機構に関しては、現在もなお多くの議論があり、明確にされていない。主要な問題点は、応力による機械的駆動力と誘発されるマルテンサイト量との関係、および Olson と Cohen¹⁾の主張するシアーバンドの交叉によるマルテンサイトの核生成機構が実在するのか、あるいは交叉機構そのものの交叉による応力集中に過ぎないのかという点であろう。

そこで、本研究では加工誘発変態において、応力と歪がそれぞれに果たす役割を明らかにすることを目的とした。

II 応力の寄与

II-1 基礎的事項

マルテンサイト変態はせん断機構で起こるため、付加応力のせん断成分が主として変態を助けると考えられる。しかし、マルテンサイト変態時に体積変化を伴う場合には、体積変化は晶癖面に垂直に生ずると考えられるので、応力の晶癖面に対する垂直成分もある程度の寄与を有する。

すなわち、応力の寄与は、マルテンサイト変態時の変形を助けて成す仕事（機械的駆動力）として評価できる。そこで、マルテンサイトの生成量を機械的駆動力と対応させることにより、加工誘起変態における応力の寄与を明らかにする。また、試験片作製時の伸縮加工による集合組織の影響についても検討する。

図1は化学的駆動力と機械的駆動力の関係を示したものである。図1の直線は、オーステナイトとマルテンサイトの自由エネルギーを表す。オーステナイトを冷却した場合、両者の等しくなる温度T₀から過冷され、化学自由エネルギーの差がW_c⁰に達するM_s点でマルテンサイトが生成し始める。M_s点からさらに過冷されたT₂でのマルテンサイト生成量V_Mは、化学的駆動力の増加分ΔW_c(T₂) = W_c(T₂) - W_c⁰の関数f(ΔW_c(T₂))で表されるものと考える。

$$V_M = f(\Delta W_c(T_2)) \quad \text{--- (1)}$$

次に、M_s以上の温度下で応力を加えた場合、機械的駆動力W_a(σ)とT₁における化学的駆動力W_c(T₁)の和がW_c⁰に等しくなる応力で変態が開始する。この時の機械的駆動力をW_a⁰とする。さらに応力が増加した場合の機械的駆動力の増加分ΔW_a(σ)が先のΔW_cと同じ寄与をすると考える。従って、マルテンサイト生成量は次式で表される。

$$V_M = f(\Delta W_a(\sigma)) \quad \text{--- (2)} \quad \text{⑥}$$

この式は、Patel と Cohen⁵⁾によって求められているが、任意の方位を考慮すると次式のように修正される。

$$W_a(\sigma; \theta, \alpha) = \frac{1}{2} \left\{ \gamma_0 \sin 2\theta \cos \alpha + E_0 (1 + \cos 2\theta) \right\} \quad \text{--- (3)}$$

σ: 外部応力 γ₀: マルテンサイト変態時のシヤー量 E₀: マルテンサイト変態時の膨張量 α: 晶癖面上の最大シヤー方向と変態シヤー方向のなす角 θ: 晶癖面の法線と応力軸のなす角 土: 一は引張, 一は圧縮応力

各結晶粒ごとにその方位がまったく任意であると仮定すると、試料全体のマルテンサイトの体積率は(2)

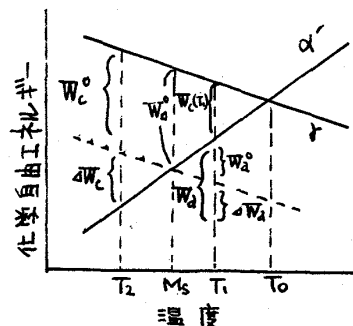


図1 マルテンサイト変態における化学的駆動力および機械的駆動力の関係

式を θ_2 と θ_1 について平均することにより得られる。

$$T_M(\sigma) = \frac{1}{\theta_2 - \theta_1} \int_{\theta_1}^{\theta_2} \frac{1}{\pi} \int_0^{T_M} f(4W_C(\sigma, \theta, \alpha)) d\theta d\alpha \quad (4)$$

$\theta_2 = \theta_1 + \Delta\theta$, θ_2 と θ_1 はマルテンサイトの晶癖面が多数のバリアントを持つために、应力が最も有効に寄与する方位のバリアントが取り得る最大と最小の角度である。 θ_1' と θ_2' はマルテンサイトを誘発するのに必要な条件 $W_C(\sigma) \geq W_C^*$ による制限である。

次に、(4)式を用いて実測値との対応を調べた。合金は高周波真空溶解により作製し、熱間鍛造した後、伸線加工により 6mm 直径の丸棒として、図2に示した引張および圧縮両用の試験片を切削により作製した。最終熱処理として、Fe-29Ni-0.2C では 1150°C で 3 時間、Fe-32Mn-0.2C では 1050°C で 2 時間の溶体化処理後水焼入を行った。各合

金の成分、Ms 点およびマルテンサイト変態時の体積変化を表1に示す。

II-2 Fe-29Ni-0.2C 合金の場合

本合金における、冷却によるマルテンサイト生成量と Ms からの過冷度 ΔT の関係を図3に示す。マルテンサイト量の測定は線分法により行った。

図3から、 T_M と ΔT の関係を次式で近似する。

$$T_M = 1.70 \Delta T \quad (5)$$

変態の駆動力と ΔT の関係を、Patel と Cohen⁵⁾ による次式で近似する。

$$\Delta W_C(T) = 1.33 \Delta T \quad (\text{cal/mole}) \quad (6)$$

また、 θ_1 と θ_2 の値として、Machlin と Cohen⁷⁾ による $\theta_1 = 0.20$, $\theta_2 = 0.04$ を使用した。また、本合金の場合、晶癖面は $\{310\} \bar{1}5$ と考えらるため、 S_2 として、引張では $28^{\circ} < \theta < 46^{\circ}$, 圧縮では $46^{\circ} < \theta < 60^{\circ}$ の樹脂を生じる。

(5), (6)式および上記の値を用いて(4)式の関係を導くと次式で表わされる。

$$\text{引張では}, \quad T_M = \sigma [0.011 (\cos 2\theta_2 - \cos 2\theta_1) + 0.069 (\theta_2' - \theta_1') + 0.034 (\sin 2\theta_2' - \sin 2\theta_1')] - 0.61 (\theta_2' - \theta_1') \quad (7)$$

$$\text{圧縮では}, \quad T_M = \sigma [-0.014 (\cos 2\theta_2' - \cos 2\theta_1') - 0.088 (\theta_2' - \theta_1') - 0.043 (\sin 2\theta_2' - \sin 2\theta_1')] - 0.78 (\theta_2' - \theta_1') \quad (8)$$

ただし、 σ は付加应力 (kg/mm^2)

Ms より高温の -26°C における、引張および圧縮したときのマルテンサイト生成量と应力の関係を図4に示す。○および × は測定値で、実線が(7)および(8)式で求めた計算値を示す。なお、 T_M^* を求めるため、マルテンサイトが生成し始める应力として ● を使用した。(7)および(8)式による計算値と実測値は良好一致を示している。また引張と圧縮の相違は、マルテンサイト変態時の体積膨張に起因すると考へられる。上述の結果は、加工誘発変態における付加应力の寄与が変態の機械的駆動力で説明できることを示してある。

II-3 Fe-32Mn-0.2C 合金の場合

本合金では、 $\sigma \rightarrow \sigma'$ マルテンサイト変態のみが生じる。 -196°C で引張および圧縮したときのマルテンサイト生成量と应力の関係を図5に示す。

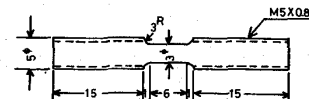


図2 試験片形状 (mm)

Alloys	C	Si	Mn	P	S	Ni	Fe	Ms	δV
Fe-29Ni-0.2C	0.22	0.009	0.002	0.002	0.004	28.94	bal.	≈ -30	+4%
Fe-32Mn-0.2C	0.18	0.008	31.78	0.05	0.018	—	bal.	<-196	-2%

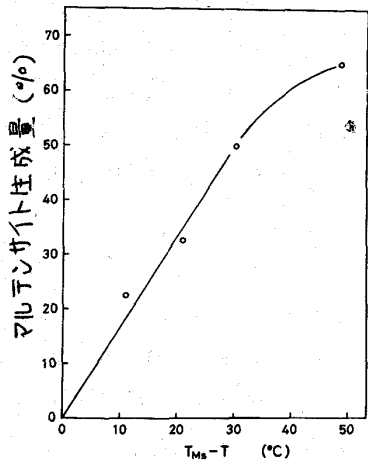


図3 Fe-29Ni-0.2C の Ms からの過冷度とマルテンサイト生成量の関係

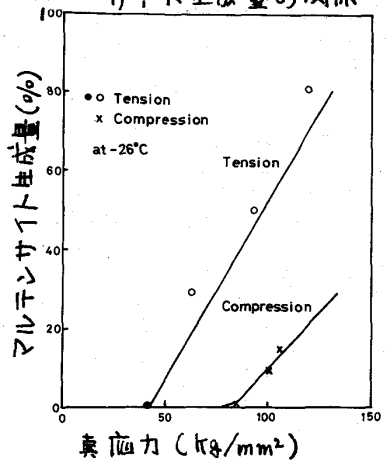


図4 Fe-29Ni-0.2C の -26°C における変形应力とマルテンサイト量の関係

す。 \circ および \times は測定値で、実線が Fe-Ni-C の場合と同様にして(4)式から求めた計算値である。実測値と計算値はより一致を示していながら、引張と圧縮の相違はよく対応している。本合金の M_s 温度は -196°C 以下であり、 T_{f} 上の関係を実測により求める事ができなかったので、種々の Mn 量を含む Fe-Mn 合金に対する藤田と内山の報告⁸⁾から推定した。図中の計算値と実測値の不一致は、この近似の粗さに起因するものと考えられる。しかし、引張と圧縮で図中の様に差が現れることは、変態時の体積収縮に起因すると考えられ、従って、応力の寄与が(3)式の機械的駆動力で表わされる事を示している。

II-4 集合組織の影響について

本研究では試料作製時に伸線加工を施したので、伸線加工による集合組織の影響が現れた想がある。そこで、II-2 で用いた Fe-29Ni-0.2C の伸線加工材から一辺の長さ 4mm の立方体の試料を切り出し、図 6 の(a)と(b)の方向から圧縮試験を行った。試験温度は図 4 と同一の -26°C である。

図 4 に(a)と(b)の方向で圧縮した場合に生成したマルテンサイト量を図 4 の結果と合わせて示す。△が(a)、▲が(b)方向から圧縮した場合で、○と \times および実線は図 4 の結果を再掲したものである。図 4 の結果はすべて(b)方向から変形した場合に相当する。図 7 からわかるように、(a)と(b)で大きな差異はみられない、集合組織の影響は少ないと考えられる。

III 歪の寄与

III-1 基礎的事項

Olson と Cohen⁹⁾は、Balling と Richman¹⁰⁾の実験結果を整理して図 8 を得た。図の M_s は、 M_s 以上で応力を加えた場合に塑性変形が開始する前のマルテンサイト変態が起る上限の温度である。 M_s 以下では、温度の上昇に比例して変態に必要な応力は上昇していくが、 M_s 以上では上昇していなくなる。左ヒンジは、温度 T_1 で、 a 以上の応力が加えられるヒオーステナイト由塑性変形を起こして加工硬化し、 b に達してマルテンサイト変態を起こす。しかし b は塑性変形を起こさない場合の延長上有る C よりもかなり低い応力である。Olson と Cohen は、この原因として、図 9 に示すような γ [112] と α [112] ハーフテラスの交叉によりマルテンサイトの芽が出来るためとした。

しかし、局所的に応力が集中し、その局部では図 8 の C の応力に達しているとすれば、との構造機構を考える必要はない。著者らは、従来積層欠陥エネルギーが高く、変形双晶が生じないと考えられてきた Fe-Ni-C 合金においても変形双晶が生じることを確認した。

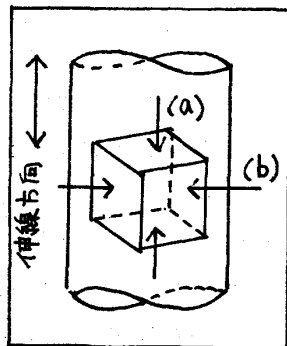


図 6 圧縮試験の方向

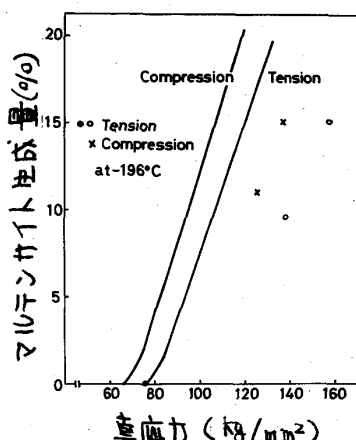


図 5 Fe-32Mn-0.2C 合金の -196°C における応力とマルテンサイト量の関係

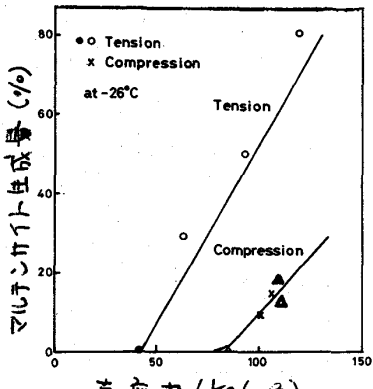


図 7 Fe-29Ni-0.2C を -26°C で、(a) △ および (b) ▲ 方向から圧縮した場合のマルテンサイト生成量

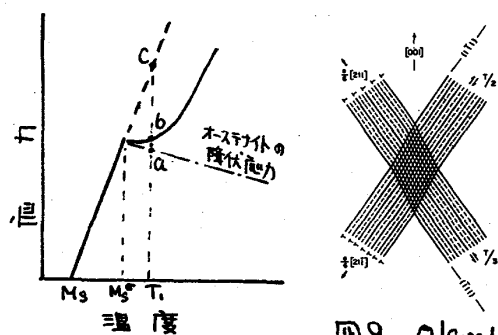


図 8 マルテンサイト誘導に必要な応力と変態生成機構試験温度の関係

図 9 Olson と Cohen⁹⁾が示した構成機構

た。¹⁰⁾ この変形双晶は、OlsonとCohenが主張するシアーパンドに相当するものである。そこで、この変形双晶とマルテンサイト変態の関係を調べることにより、マルテンサイト変態に与ぼす歪の寄与を明らかにする。

III-2 実験方法

Fe-19Ni-0.73CおよびFe-24Ni-0.47C合金を高周波真空溶解により作製した。その後1200°Cで20時間均一化した。最終熱処理として1000°Cで1時間の溶体化処理を行った。その後、Ms以上の種々の温度で加工を施した後、光顕および透過電顕により組織観察を行った。

III-3 結果

両合金共、Ms点近傍で加工した場合、図10に示すバンド状の組織が生ずる。この組織がオーステナイトの薄い変形双晶の集合体であることは既に報告した。¹⁰⁾ この変形双晶とマルテンサイト変態の関係を調べるために、Fe-24Ni-0.47Cを種々な温度で引張変形した後、光学顕微鏡により組織観察を行った。

図11に代表的な温度で引張変形した時に得られた組織を示す。18°Cの(A)では、変形双晶中にマルテンサイトが観察される。50°Cの(B)では、変形双晶中にわずかに、オーステナイト粒界にマルテンサイトが観察される。粒界に観察されるマルテンサイトは隣接する結晶粒中の二通りが粒界と交叉すると同時に集積した変位の应力によって誘発されたものと考えられる。100°Cおよび200°Cの高温では、変形双晶のすぐ隣接するマルテンサイトは観察されない。

図12に、Fe-19Ni-0.73C合金を、変形双晶とマルテンサイトの両方が生成する温度である35°Cで30%圧延した時の透過電顕写真を示す。図中のAおよびB付近に認められる線状のイメージはオーステナイトの変形双晶境界である。また、マルテンサイトをMで示した。マルテンサイトは、変形双晶同士の交叉点自体とならず、むしろ交叉点の周辺から一方の双晶面に沿うようにして生成している。従ってOlsonとCohenの主張するような交叉機構を考えるよりも、交叉による应力集中に起因してマルテンサイト変態が生ずると考える方が妥当と思われる。

参考文献 1) G.B.Olson et al: J.Less-Common Metals, 28(1972) 107.

2) T.Suzuki et al: Script. Met., 10(1976) 353.

3) 小野寺他: 材料科学, 14(1977) 192.

4) 上田, 藤田: 日本金属学会誌, 41(1977) 1007.

5) J.R.Patel and M.Cohen: Acta Met., 1(1953) 531.

6) H.Onodera et al: JIMIS-I Proceeding (1976) 327.

7) E.S.Machlin, M.Cohen: Trans. AIME, 191(1951) 1019. 8) 藤田, 内山: 鋼と鋼, 60(1974) 525.

9) R.H.Richman et al: Met. Trans., 2(1970) 2451. 10) H.Onodera and I.Tamura: Script. Met.投稿中



図10 Fe-19Ni-0.73C
(Ms=45°C)を100°C
で30%圧延した時の
光学組織

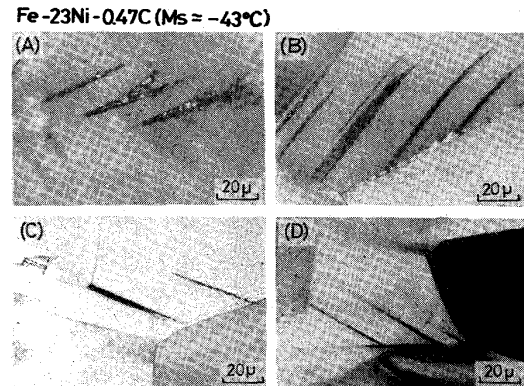


図11 A 18°C, B 50°C, C 100°C, D
200°Cで約30%引張変形した時
の組織 (BJD, II共に24-Na₂S₂O₅腐食)

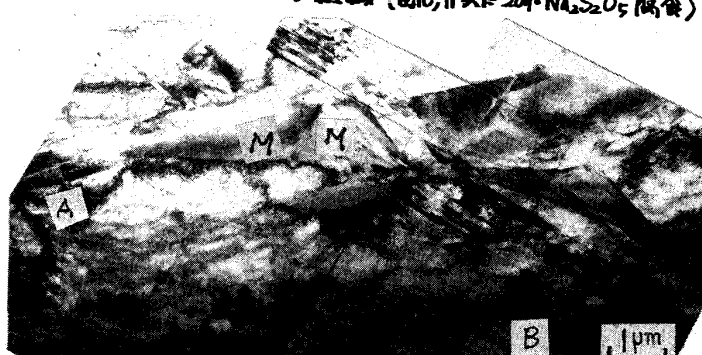


図12 Fe-19Ni-0.73Cを35°Cで30%圧延した時に得られた透過電顕写真